

UNIVERSIDADE ESTADUAL DE CAMPINAS Faculdade de Engenharia Elétrica e de Computação

Pedro Henrique Neves dos Santos

IT306W - Estimação de estado Equação Normal e Tableau Esparso

Resumo

Neste quarto trabalho, será abordado os Estimadores de Estado, usando Equação Normal e Tableau Esparso.

Todos os códigos podem ser encontrados em https://github.com/phneves/ElectricPowerSystemsAnalysisTools

Sumário

1	Intr	odução e teoria	4
	1.1	Modelagem	4
	1.2	Formulação do problema básico	5
		1.2.1 Mínimos Quadrados Ponderado	5
		1.2.2 Equação normal	5
		1.2.3 Tableau Esparso	6
	1.3	Algoritmo implementado	7
2	Estu	idos de caso	8
	2.1	Rede de 14 barras IEEE	8
		2.1.1 Dados do Problema	9
	2.2	Resultado do Estimador de Estados	11
		2.2.1 Equação Normal	11
		2.2.2 Tableau Esparso	12
3	Cód	ligo comentado	14
	3.1	Equação normal	21
	3.2	Tableau esparso	21
	3.3	Resultados	22
4	Disc	cussões e análise de resultados	23
	4.1	Composição do trabalho	23
	4.2	Performance	23
R	eferê	ncias hiblingráficas	24

Capítulo 1

Introdução e teoria

A ferramenta de análise de sistemas de energia elétrica aqui discutida será a Estimação de Estado. Essa análise nos fornecerá um metodo de obter o estado mais provável do sistema (ou de parte dele) a partir de medidas realizadas e a partir do modelo (circuito equivalente) da rede. (MONTICELLI, 1999).

1.1 Modelagem

Para estimar o estado, será utilizado um conjunto de medidas que há disponível. Todas as redes de energia elétrica são constantemente monitoradas e, como toda medida, há uma incenteza atrelada, podendo ser erros aceitáveis e inaceitáveis (erros grosseiros).

É necessário que haja número de medidas em quantidade suficiente, para minimizar a influência dos erros grosseiros. Aliás, na hipótese de haver redundância no conjunto de medidas, é possível tratar erros nas medidas, já que pode-se lançar mão de ferramentas estatísticas.

Frequentemente, os valores calculados com o estado estimado, são mais confiáveis que o conjunto de medidas.

O modelo da rede e composto basicamente pelos circuitos equivalentes das linhas, transformadores, reguladores de tensão e por um gerador que proverá a referência angular da rede. Dispositivos de chaveamento e geradores distribuídos também podem ser modelados.

A topologia da rede e determinada pelo Configurador Topológico, que deve ser executado a cada alteração na topologia da rede.(CASTRO, Consultado em 07/2020)

1.2 Formulação do problema básico

1.2.1 Mínimos Quadrados Ponderado

Será utilizado modelos que descrevem as medições e suas relações, como em 1.1

$$z = \begin{bmatrix} z_1 \\ z_2 \\ \vdots \\ z_m \end{bmatrix} = \begin{bmatrix} h_1(x_1, x_2, ..., x_n) \\ h_2(x_1, x_2, ..., x_n) \\ \vdots \\ h_m(x_1, x_2, ..., x_n) \end{bmatrix} + \begin{bmatrix} e_1 \\ e_2 \\ \vdots \\ e_m \end{bmatrix} = h(x) + e$$

$$\vdots$$

$$e_m$$

$$(1.1)$$

Onde $h_i(x)$ é a função que correlaciona a i-ésima medição com o vetor de estado, $x^t = [x_1, x_2, ..., x_n]$ é o vetor de estado que contém as n variáveis de estado e $e^t = [e_1, e_2, ..., e_m]$ corresponde ao vetor de erros do processo de medição.

Os elementos de e possuem média nula, $E\{e_ie_i\}=0$, e $Cov(e)=E[e.e^t]=R_z=diag\{\sigma_1^2,\sigma_2^2,\ldots,\sigma_m^2\}$. A variância σ_i^2 é calculada de acordo com a precisão da medição.

No método dos mínimos quadrados ponderados a função 1.2 deve ser minimizada. O inverso do desvio padrão é usado na ponderação das medidas. (CASTRO, Consultado em 07/2020)

$$J(x) = \sum_{i=1}^{m} \frac{(z_i - h_i(x))^2}{\sigma_i^2} = [z - h(x)]' R_z^- 1 [z - h(x)]$$
 (1.2)

1.2.2 Equação normal

Ao minimizar a equação 1.2, é necessário derivá-la e igualar a zero. Como resultado, o estado estimado é obtido iterativamente com método dos minimos quadrados ponderados, conforme a equação 1.3.

$$G(x^{\nu}).\Delta x^{\nu} = H'(x^{\nu}).R_{z}^{-}1[z - H(x^{\nu})]$$
(1.3)

E,

$$x^{\nu+1} = x^{\nu} + \Delta x^{\nu} \tag{1.4}$$

A matriz Hessiana G(x), chamada de matriz Ganho, é definida como em 1.5

$$G(x) = H'(x)R_z^{-1}H(x)$$
(1.5)

O uso da matriz *G*, de ganhos, é conhecido como solução via equação normal e esta solução apresenta boa convergênca. Em alguns casos, porém, a solução da equação 1.3 pode apresentar divergência (não será abordado neste trabalho).

A formação da matriz *H*, descrita em 1.5, é dada por 1.1.

Figura 1.1: Formulação da matriz *H*

$$\begin{split} \frac{\partial P_{km}}{\partial \theta_{k}} &= a_{km} V_{k} a_{mk} V_{m} g_{km} sin(\theta_{km} + \varphi_{km} - \varphi_{mk}) + \\ &- a_{km} V_{k} a_{mk} V_{m} b_{km} cos(\theta_{km} + \varphi_{km} - \varphi_{mk}) + \\ \frac{\partial P_{km}}{\partial \theta_{m}} &= -a_{km} V_{k} a_{mk} V_{m} g_{km} sin(\theta_{km} + \varphi_{km} - \varphi_{mk}) + \\ &a_{km} V_{k} a_{mk} V_{m} b_{km} cos(\theta_{km} + \varphi_{km} - \varphi_{mk}) + \\ \frac{\partial P_{km}}{\partial V_{k}} &= 2 a_{km}^{2} V_{k} g_{km} - a_{km} a_{mk} V_{m} g_{km} cos(\theta_{km} + \varphi_{km} - \varphi_{mk}) + \\ &- a_{km} a_{mk} V_{m} b_{km} sin(\theta_{km} + \varphi_{km} - \varphi_{mk}) + \\ \frac{\partial P_{km}}{\partial V_{m}} &= -a_{km} a_{mk} V_{k} g_{km} cos(\theta_{km} + \varphi_{km} - \varphi_{mk}) + \\ &- a_{km} a_{mk} V_{k} b_{km} sin(\theta_{km} + \varphi_{km} - \varphi_{mk}) + \\ \frac{\partial Q_{km}}{\partial \theta_{k}} &= -a_{km} V_{k} a_{mk} V_{m} b_{km} sin(\theta_{km} + \varphi_{km} - \varphi_{mk}) + \\ &- a_{km} V_{k} a_{mk} V_{m} g_{km} cos(\theta_{km} + \varphi_{km} - \varphi_{mk}) + \\ &+ a_{km} V_{k} a_{mk} V_{m} g_{km} cos(\theta_{km} + \varphi_{km} - \varphi_{mk}) + \\ &- a_{km} a_{mk} V_{m} g_{km} cos(\theta_{km} + \varphi_{km} - \varphi_{mk}) + \\ &- a_{km} a_{mk} V_{k} g_{km} sin(\theta_{km} + \varphi_{km} - \varphi_{mk}) + \\ &- a_{km} a_{mk} V_{k} g_{km} sin(\theta_{km} + \varphi_{km} - \varphi_{mk}) + \\ &- a_{km} a_{mk} V_{k} g_{km} sin(\theta_{km} + \varphi_{km} - \varphi_{mk}) + \\ &- a_{km} a_{mk} V_{k} g_{km} sin(\theta_{km} + \varphi_{km} - \varphi_{mk}) + \\ &- a_{km} a_{mk} V_{k} g_{km} sin(\theta_{km} + \varphi_{km} - \varphi_{mk}) + \\ &- a_{km} a_{mk} V_{k} g_{km} sin(\theta_{km} + \varphi_{km} - \varphi_{mk}) + \\ &- a_{km} a_{mk} V_{k} g_{km} sin(\theta_{km} + \varphi_{km} - \varphi_{mk}) + \\ &- a_{km} a_{mk} V_{k} g_{km} sin(\theta_{km} + \varphi_{km} - \varphi_{mk}) + \\ &- a_{km} a_{mk} V_{k} g_{km} sin(\theta_{km} + \varphi_{km} - \varphi_{mk}) + \\ &- a_{km} a_{mk} V_{k} g_{km} sin(\theta_{km} + \varphi_{km} - \varphi_{mk}) + \\ &- a_{km} a_{mk} V_{k} g_{km} sin(\theta_{km} + \varphi_{km} - \varphi_{mk}) + \\ &- a_{km} a_{mk} V_{k} g_{km} sin(\theta_{km} + \varphi_{km} - \varphi_{mk}) + \\ &- a_{km} a_{mk} V_{k} g_{km} sin(\theta_{km} + \varphi_{km} - \varphi_{mk}) + \\ &- a_{km} a_{mk} V_{k} g_{km} sin(\theta_{km} + \varphi_{km} - \varphi_{mk}) + \\ &- a_{km} a_{mk} V_{k} g_{km} sin(\theta_{km} + \varphi_{km} - \varphi_{mk}) + \\ &- a_{km} a_{mk} V_{k} g_{km} sin(\theta_{km} + \varphi_{km} - \varphi_{mk}) + \\ &- a_{km} a_{mk} V_{k} g_{km} sin(\theta_{km} + \varphi_{km} - \varphi_{mk}) + \\ &- a_{km}$$

1.2.3 Tableau Esparso

Para evitar trabalhar com o produto de H (matriz G), como em 1.5, pode-se reescrever o problema como minimização com restrições, como em 1.6 e 1.7

$$minJ(x) = \frac{1}{2}[z - h(x)]R_z^{-1}[z - h(x)]$$
 (1.6)

$$minJ(x) = \frac{1}{2}r'R_z^{-1}r$$
 (1.7)

Sujeito a r = z - h(x). Para resolver este problema, deve-se usar multiplicadores de Lagrange. A solução pode ser obtida iterativamente a partir de 1.8.

$$\begin{bmatrix} R_z & H(x^k) \\ H'(x^k) & 0 \end{bmatrix} \begin{pmatrix} \lambda^k \\ \Delta x^k \end{pmatrix} = \begin{bmatrix} z - h(x^k) \\ 0 \end{bmatrix} = \begin{bmatrix} \Delta z(x^k) \\ 0 \end{bmatrix}$$
(1.8)

Neste processo, há a matriz H e não a matriz G, o que melhora o condicionamento da matriz a ser fatorada. (CASTRO, Consultado em 07/2020).

1.3 Algoritmo implementado

Basicamente, tem-se 4 etapas do processo de estimação de estado (NETO, Consultado em 07/2020).

- Processamento da topologia. Todas as informações de representação da topologia são tratadas.
- 2. Analise de observabilidade. A partir do modelo barra-ramo obtido na primeira etapa, verifica-se se é possivel determinar as tensões e angulos em todas as barras, considerando as medidas disponíveis.
- 3. Estimação de estado. A partir da topologia, dos parâmetros e dos conjuntos de medidas disponíveis, o Estimador de Estado determina a estimação que melhor representa o sistema
- 4. Processamento de erros grosseiros. A presença de medidas analógicas com possibilidade de erros grosseiros afasta a solução verdadeira do estimador de estados. Se uma medida é identificada dessa forma, ela deve ser retirada da solução.

Capítulo 2

Estudos de caso

Neste capítulo, será estudado a rede de 14 barras do IEEE que pode ser encontrado em http://labs.ece.uw.edu/pstca/pf14/pg_tca14bus.htm

2.1 Rede de 14 barras IEEE

Considere a rede de 14 barras na figura 2.1.

Neste exercício, será resolvido as tensões e angulos de todas as barras desse sistema, utilizando

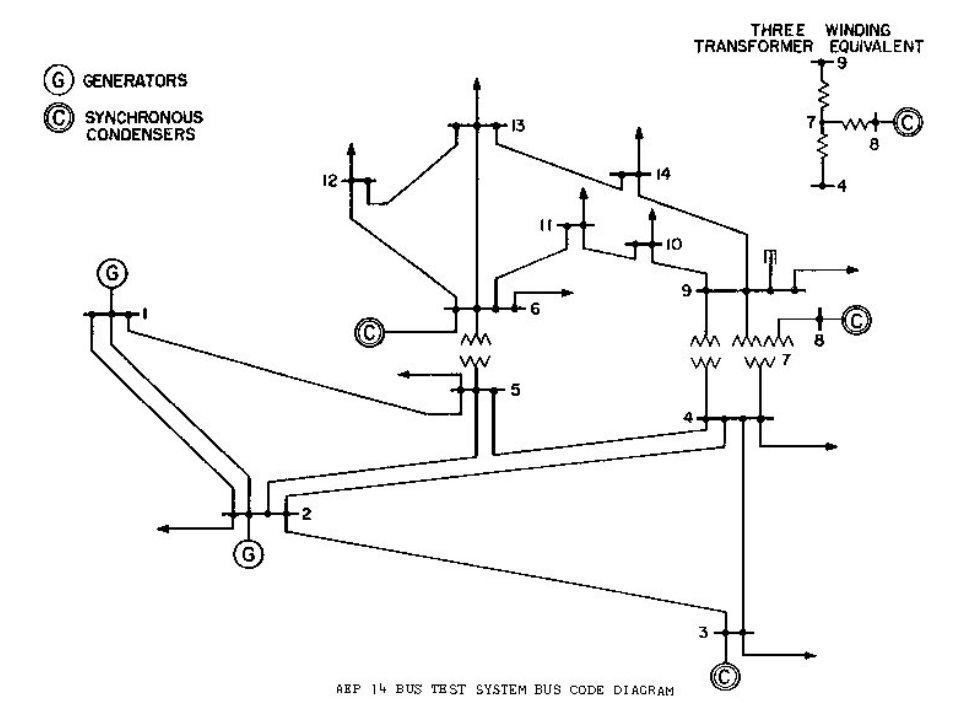


Figura 2.1: Rede de 14 barras IEEE

dados de medições disponíveis na rede.

2.1.1 Dados do Problema

Medições do problema 2.1. São dados obtidos da rede que serão usados para estimar o estado do sistema.

```
|Msnt | Type | Value | From | To | Rii |
       = [ %---- Voltage Magnitude -----%
zdata14
         1 1 1.06
                     1 0 	 9e-4;
         %---- Real Power Injection ----%
            2
                0.1830 2
         3
            2 -0.9420 3
                             0 	 1e-4;
         4
            2 0.00 7
                             0 	 1e-4;
                             0 1e-4;
                0.00
         5
                          0 1e-4;
         6
            2 -0.0900 10
         7
            2 -0.0350 11
                            0 	 1e-4;
         8
            2 -0.0610 12
                            0 	 1e-4;
         9
             2 -0.1490 14
                         0 	 1e-4;
        %---- Reative Power Injection -----%
        10
            3 0.3523 2
                            0 	 1e-4;
        11
            3 0.0876 3
                             0 	 1e-4;
            3 0.00 7
                             0 	 1e-4;
        12
                             0 	 1e-4;
                0.2103 8
        13
            3 -0.0580 10
        14
                           0 	 1e-4;
                            0 1e-4;
        15
            3 -0.0180 11
        16
            3 -0.0160 12
                            0 1e-4;
        17
          3 -0.0500 14
                         0 	 1e-4;
        %----- Real Power Flow ----- %
        18
             4
                1.5708 1
                            2 64e-6;
        19
                0.7340 2
                             3 64e-6;
                             2 64e-6;
        20
            4 -0.5427 4
                             7 64e-6;
                0.2707 4
        21
                0.1546 4
                             9 64e-6;
             4
        22
        23
            4 -0.4081 5
                             2 64e-6;
                0.6006 5
        24
                             4 64e-6;
        25
            4 0.4589 5
                            6 64e-6;
             4 0.1834 6
                            13 64e-6;
        26
                          9
          4 0.2707 7
        27
                                 64e-6;
```

```
28
   4 -0.0816 11 6 64e-6;
                  13 64e-6;
29
   4 0.0188 12
%----- Real Power Flow ----- %
   5 -0.1748 1 2 64e-6;
30
                3 64e-6;
   5 0.0594 2
31
       0.0213 4
                   2 64e-6;
   5
32
                 7 64e-6;
   5 -0.1540 4
33
                  9 64e-6;
   5 -0.0264 4
34
                   2 64e-6;
35
   5 -0.0193 5
   5 -0.1006 5 4 64e-6;
36
                  6 64e-6;
   5 -0.2084 5
37
                13 64e-6;
   5 0.0998 6
38
   5 0.1480 7
                  9 64e-6;
39
40
   5 -0.0864 11
                  6 64e-6;
  5 0.0141 12
                13 64e-6;];
41
```

Dados das barras do problema 2.1

% Bus Type Vsp theta PGi QGi PLi QLi Qmin Qmax										
busdata14 =										
[1	1	1.060	0	0	0	0	0	0	0;	
2	2	1.045	0	40	42.4	21.7	12.7	-40	50;	
3	2	1.010	0	0	23.4	94.2	19.0	0	40;	
4	3	1.0	0	0	0	47.8	-3.9	0	0;	
5	3	1.0	0	0	0	7.6	1.6	0	0;	
6	2	1.070	0	0	12.2	11.2	7.5	- 6	24;	
7	3	1.0	0	0	0	0.0	0.0	0	0;	
8	2	1.090	0	0	17.4	0.0	0.0	-6	24;	
9	3	1.0	0	0	0	29.5	16.6	0	0;	
10	3	1.0	0	0	0	9.0	5.8	0	0;	
11	3	1.0	0	0	0	3.5	1.8	0	0;	
12	3	1.0	0	0	0	6.1	1.6	0	0;	
13	3	1.0	0	0	0	13.5	5.8	0	0;	
14	3	1.0	0	0	0	14.9	5.0	0	0;];	

Dados dos ramos do problema 2.1

% / F1	com To	/ R	/ X	B/2	X'mer
% / Bu	ıs Bus	pu	pu	pu	/ TAP (a) /
linedata14 =[1	2	0.01938	0.05917	0.0264	1
1	5	0.05403	0.22304	0.0246	1
2	3	0.04699	0.19797	0.0219	1
2	4	0.05811	0.17632	0.0170	1
2	5	0.05695	0.17388	0.0173	1
3	4	0.06701	0.17103	0.0064	1
4	5	0.01335	0.04211	0.0	1
4	7	0.0	0.20912	0.0	0.978
4	9	0.0	0.55618	0.0	0.969
5	6	0.0	0.25202	0.0	0.932
6	11	0.09498	0.19890	0.0	1
6	12	0.12291	0.25581	0.0	1
6	13	0.06615	0.13027	0.0	1
7	8	0.0	0.17615	0.0	1
7	9	0.0	0.11001	0.0	1
9	10	0.03181	0.08450	0.0	1
9	14	0.12711	0.27038	0.0	1
10	11	0.08205	0.19207	0.0	1
12	13	0.22092	0.19988	0.0	1
13	14	0.17093	0.34802	0.0	1];

2.2 Resultado do Estimador de Estados

Os resultados das duas soluções convergiram para esse problema. Nota-se que o tempo computacional utilizando Tableau Esparso é menor, embora a comparação tenha apenas efeito didático já que o processador não é dedicado e pode variar o tempo de solução.

2.2.1 Equação Normal

Aqui, a matriz G foi calculada como em 1.5. O código está na seção 3.1

```
1.0068
               0.0000
     0.9899 -5.5265
     0.9518 -14.2039
     0.9579 -11.4146
  4
  5
     0.9615 -9.7583
       1.0185 -16.0798
  7
       0.9919 -14.7510
      1.0287 -14.7500
       0.9763 -16.5125
 10
     0.9758 -16.7476
 11
       0.9932 -16.5397
     1.0009 -17.0203
 12
     0.9940 -17.0583
 13
       0.9647 - 17.8967
 14
Tempo computacional = 0.0834 segundos.
```

2.2.2 Tableau Esparso

Aqui, a matriz *G* não foi calculada. O calculo foi feito como em 1.8. O código está na seção 3.2

```
----- State Estimation -----
----- Tableau Sparse
| Bus | V | Angle |
          Degree
       pu
  1 1.0068 0.0000
     0.9899
             -5.5265
  3
    0.9518 -14.2039
     0.9579 -11.4146
  5
     0.9615
             -9.7583
     1.0185 -16.0798
  7
      0.9919 -14.7510
     1.0287 -14.7500
      0.9763 -16.5125
  9
 10
      0.9758 - 16.7476
            -16.5397
 11
      0.9932
```

Capítulo 3

Código comentado

Os códigos fonte desse trabalho bem como histórico de modificação, podem ser encontrados no endereço: https://github.com/phneves/ElectricPowerSystemsAnalysisTools.

Entrada de dados do estimador de estados.

```
num = 14;
ybus = ybusppg(num);
zdata = zdatas(num); %pneves: Get Measurement data
bpq = bbusppg(num); % Get B data
nbus = max(max(zdata(:,4)),max(zdata(:,5))); % Get number of buses
type = zdata(:,2);
z = zdata(:,3); % Measurement values
fbus = zdata(:,4); % From bus
tbus = zdata(:,5); % To bus
Ri = diag(zdata(:,6)); % Measurement Error
V = ones(nbus,1); % Initialize the bus voltages
del = zeros(nbus,1); % Initialize the bus angles
E = [del(2:end); V]; % State Vector
G = real(ybus);
B = imag(ybus);
```

```
vi = find(type == 1); % Index of voltage magnitude measurements
ppi = find(type == 2); % Index of real power injection measurements
qi = find(type == 3); % Index of reactive power injection measurements
pf = find(type == 4); % Index of real powerflow measurements
qf = find(type == 5); % Index of reactive powerflow measurements
```

Calcula o número de medidas disponíveis.

```
%pneves
nvi = length(vi); % Number of Voltage measurements
npi = length(ppi); % Number of Real Power Injection measurements
nqi = length(qi); % Number of Reactive Power Injection measurements
npf = length(pf); % Number of Real Power Flow measurements
nqf = length(qf); % Number of Reactive Power Flow measurements
iter = 1;
tol = 5;
```

Itera-se comparando com a tolerância desejada.

```
for i = 1:npi
    m = fbus(ppi(i));
    for k = 1:nbus
        h2(i) = h2(i) + V(m)*V(k)*(G(m,k)*cos(del(m)-del(k)) + ...
            B(m,k)*sin(del(m)-del(k));
    end
end
for i = 1:nqi
    m = fbus(qi(i));
    for k = 1:nbus
        h3(i) = h3(i) + V(m)*V(k)*(G(m,k)*sin(del(m)-del(k)) - ...
            B(m,k)*\cos(del(m)-del(k)));
    end
end
for i = 1:npf
    m = fbus(pf(i));
    n = tbus(pf(i));
    h4(i) = -V(m)^2 G(m,n) - V(m)^*V(n)^*(-G(m,n)^*\cos(del(m)-del(n))
```

Monta-se a matriz Jacobiana seguindo 1.1.

 H_{11} Derivada de V com respeito a θ .

```
H11 = zeros(nvi,nbus-1);
```

 H_{12} Derivada de V com respeito a V.

```
H12 = zeros(nvi,nbus);
for k = 1:nvi
    for n = 1:nbus
        if n == k
            H12(k,n) = 1;
        end
        end
end
```

 H_{21} Derivada de P com respeito a θ .

```
H21 = zeros(npi,nbus-1);
for i = 1:npi
    m = fbus(ppi(i));
    for k = 1:(nbus-1)
        if k+1 == m
```

 H_{22} Derivada de P com respeito a V.

```
H22 = zeros(npi,nbus);
for i = 1:npi
    m = fbus(ppi(i));
    for k = 1:(nbus)
        if k == m
            for n = 1:nbus
                H22(i,k) = H22(i,k) + ...
                V(n)*(G(m,n)*\cos(del(m)-del(n)) + \dots
                B(m,n)*sin(del(m)-del(n));
            end
            H22(i,k) = H22(i,k) + V(m)*G(m,m);
        else
            H22(i,k) = V(m)*(G(m,k)*\cos(del(m)-del(k)) + ...
            B(m,k)*sin(del(m)-del(k)));
        end
    end
end
```

 H_{31} Derivada de Q com respeito a θ .

```
H31 = zeros(nqi,nbus-1);
for i = 1:nqi
    m = fbus(qi(i));
    for k = 1:(nbus-1)
        if k+1 == m
```

 H_{32} Derivada de Q com respeito a V.

```
H32 = zeros(nqi, nbus);
for i = 1:nqi
    m = fbus(qi(i));
    for k = 1:(nbus)
        if k == m
            for n = 1:nbus
                H32(i,k) = H32(i,k) + ...
                V(n)*(G(m,n)*sin(del(m)-del(n)) - \dots
                B(m,n)*\cos(del(m)-del(n));
            end
            H32(i,k) = H32(i,k) - V(m)*B(m,m);
        else
           H32(i,k) = V(m)*(G(m,k)*sin(del(m)-del(k))
           - B(m,k)*cos(del(m)-del(k)));
        end
    end
end
```

 H_{41} Derivada de P com respeito a θ .

```
H41 = zeros(npf,nbus-1);
for i = 1:npf
    m = fbus(pf(i));
    n = tbus(pf(i));
    for k = 1:(nbus-1)
```

H_{42} Derivada de P com respeito a V.

```
H42 = zeros(npf, nbus);
for i = 1:npf
    m = fbus(pf(i));
    n = tbus(pf(i));
    for k = 1:nbus
        if k == m
            H42(i,k) = -V(n)*(-G(m,n)*cos(del(m)-del(n))
            - B(m,n)*sin(del(m)-del(n))) - 2*G(m,n)*V(m);
        else if k == n
            H42(i,k) = -V(m)*(-G(m,n)*cos(del(m)-del(n))
            - B(m,n)*sin(del(m)-del(n));
            else
                H42(i,k) = 0;
            end
        end
    end
end
```

H_{51} Derivada de Q com respeito a θ .

```
H51 = zeros(nqf,nbus-1);
for i = 1:nqf
    m = fbus(qf(i));
    n = tbus(qf(i));
    for k = 1:(nbus-1)
```

 H_{52} Derivada de Q com respeito a V.

```
H52 = zeros(nqf, nbus);
for i = 1:nqf
   m = fbus(qf(i));
    n = tbus(qf(i));
    for k = 1:nbus
        if k == m
            H52(i,k) = -V(n)*(-G(m,n)*sin(del(m)-del(n))
            + B(m,n)*\cos(del(m)-del(n))
            -2*V(m)*(-B(m,n)+bpq(m,n));
        else if k == n
            H52(i,k) = -V(m)*(-G(m,n)*sin(del(m)-del(n))
            + B(m,n)*\cos(del(m)-del(n));
            else
                H52(i,k) = 0;
            end
        end
    end
end
```

Matriz Jacobiana de medições é montada

```
H = [H11 H12; H21 H22; H31 H32; H41 H42; H51 H52];
```

3.1 Equação normal

```
% pneves: Gain Matrix, Gm
Gm = H'*inv(Ri)*H;

%pneves: Objective Function
J = sum(inv(Ri)*r.^2);

%pneves: State Vector
dE = inv(Gm)*(H'*inv(Ri)*r);
E = E + dE;
del(2:end) = E(1:nbus-1);
V = E(nbus:end);
iter = iter + 1;
tol = max(abs(dE));
end
```

3.2 Tableau esparso

```
%pneves: Tableau sparse
    if iter == 1
        [linhasH , colunasH] = size(H);
        HZeros = zeros(colunasH, colunasH);
    end
   MatrizH = [Ri H; H' HZeros];
    if iter == 1
        [linhasLambda , colunasLambda] = size(MatrizH);
        VetorLambda = zeros(linhasH,1);
        dE = zeros(colunasH,1);
    end
    MatrizLambda = [VetorLambda ; dE];
   Rzeros = zeros(colunasH,1);
   MatrizR = [r ; Rzeros];
   MatrizLambda = inv(MatrizH)*MatrizR;
    dE = MatrizLambda((linhasH+1):end);
    %dE = MatrizLambda(42:end);
    E = E + dE;
    del(2:end) = E(1:nbus-1);
```

```
V = E(nbus:end);
iter = iter + 1;
tol = max(abs(dE));
end
```

3.3 Resultados

Capítulo 4

Discussões e análise de resultados

4.1 Composição do trabalho

Neste trabalho, foi abordado uma introdução à teoria de Estimadores de Estado com métodos da Equação Normal e Tableau Esparso.

A rede 14 barras IEEE foi escolhida para testar convergencia dos dois métodos, apresentados nas seções 3.1 e 3.2. A partir de medidas da rede, como na seção 2.1.1, foi possivel estimar o estado atual da rede 14 barras IEEE, como mostrado em 2.2.

4.2 Performance

Os dois métodos, explicados nas seções 3.1 e 3.2, convergiram para a mesma solução, que pode ser verificado em 2.2. O método Tableau Esparso, com leve vantagem computacional, por evitar o calculo da matriz G, como em 1.5, aliviando o método de calculo.

A economia se deve, também, ao fato da matriz gerada ser bastante esparsa.(NETO, Consultado em 07/2020).

Referências bibliográficas

CASTRO, C. A. **Cálculo de Fluxo de Carga Linearizado**. Campinas-SP: [s.n.], Consultado em 07/2020. Disponível em: http://www.dsee.fee.unicamp.br/~ccastro>.

MONTICELLI, A. State Estimation in Electric Power Systems, 1999. DOI: 10.1007/978-1-4615-4999-4.

NETO, M. S. I. Estimação de estado para Redes de Distribuição de Energia Elétrica Avançadas. São Carlos-SP: [s.n.], Consultado em 07/2020. Disponível em: https://www.teses.usp.br/teses/disponiveis/18/18154/tde-02082017-163837/publico/Mohamad.pdf>.